

УДК 548.736:546.561

**A.M. Фед'ко, Ю.И. Сливка, М.Г. Мыськив**

**СИНТЕЗ И КРИСТАЛЛИЧЕСКАЯ СТРУКТУРА  $\pi$ -КОМПЛЕКСОВ Cu(I) С N-АЛЛИЛ-1,2,3-ТРИАЗОЛОМ СОСТАВА [Cu(C<sub>5</sub>H<sub>7</sub>N<sub>3</sub>)Br], [Cu(C<sub>5</sub>H<sub>7</sub>N<sub>3</sub>)<sub>2</sub>(CH<sub>3</sub>C<sub>6</sub>H<sub>4</sub>SO<sub>3</sub>)] И [Cu(C<sub>5</sub>H<sub>7</sub>N<sub>3</sub>)(CF<sub>3</sub>COO)]**

Львовский национальный университет имени Ивана Франко

Методом переменно-токового электрохимического синтеза, исходя из CuBr<sub>2</sub>, Cu(п-CH<sub>3</sub>C<sub>6</sub>H<sub>4</sub>SO<sub>3</sub>)·xH<sub>2</sub>O, Cu(CF<sub>3</sub>COO)<sub>2</sub>·xH<sub>2</sub>O и смеси 1-N-аллил-1,2,3-триазола и 2-N-аллил-1,2,3-триазола в ацетонитрильном растворе на медных электродах получены три новые  $\pi$ -комплексы меди(I): [Cu(C<sub>5</sub>H<sub>7</sub>N<sub>3</sub>)Br] (I), [Cu(C<sub>5</sub>H<sub>7</sub>N<sub>3</sub>)<sub>2</sub>(CH<sub>3</sub>C<sub>6</sub>H<sub>4</sub>SO<sub>3</sub>)] (II) и [Cu(C<sub>5</sub>H<sub>7</sub>N<sub>3</sub>)(CF<sub>3</sub>COO)] (III). Соединение I кристаллизуется в триклиновой сингонии, пр. гр. РІ: a=7,107(3) Å, b=7,162(3) Å, c=8,050(3) Å,  $\alpha$ =98,83(3)°,  $\beta$ =106,41(3)°,  $\gamma$ =100,52(3)°, V=377,2(3) Å<sup>3</sup>, Z=2. Соединения II и III кристаллизуются в моноклинной сингонии: (II) – пр. гр. Р2<sub>1</sub>/c: a=7,977(3) Å, b=31,665(8) Å, c=7,959(3) Å,  $\beta$ =101,44(3)°, V=1970,4(12) Å<sup>3</sup>, Z=4; (III) – пр. гр. Р2<sub>1</sub>/n: a=8,215(3) Å,  $\beta$ =10,212(4) Å, c=11,520(4) Å,  $\beta$ =93,30(3)°, V=964,8(6) Å<sup>3</sup>, Z=4. В структурах всех соединений содержится один независимый атом Cu(I) с тригонально-пирамидальной координацией. Наблюдалось изомер-селективное комплексообразование: в соединениях I и II молекула 1-N-аллил-1,2,3-триазола – мостиковая  $\pi$ , $\sigma$ -дентантная, в соединении III тридентантная молекула 2-N-аллил-1,2,3-триазола полностью проявляет свои координационные возможности, выполняя мостиково-хелатную  $\pi$ , $\sigma$ -функцию. Соединение II является лишь вторым примером  $\pi$ -комплексов толуолсульфоната меди(I).

**Ключевые слова:** медь(I),  $\pi$ -комплекс, 1,2,3-триазол, аллильные производные, кристаллическая структура.

### Введение

1,2,3-Триазолы – группа гетероциклических соединений, которые широко используются во многих областях, в частности, они известны как флуоресцентные отбеливающие агенты, фотостабилизаторы полимерных материалов, красители, ингибиторы коррозии [1–3]. Вследствие биохимической активности они находят применение в агрехимии и медицине: проявляют антимикробную, противовирусную и противоопухолевую активность [4]. Более того, особенности структуры молекулы 1,2,3-триазола обусловливают его широкое использование в синтезе новых биологически активных веществ. Комpleксы d-металлов с производными 1,2,3-триазола, среди которых есть и соединения Cu(I), благодаря относительной дешевизне могут применяться как люминесцентные примеси в органических светодиодах [5]. Комплексы же меди(I) с аллильными производными 1,2,3-бензотриазола и тетразола [6,7] проявляют нелинейные

оптические свойства, благодаря которым могут быть использованы при исследовании процессов развития раковых клеток, что сопровождается изменением содержания меди(I) в здоровых и поврежденных болезнью тканях. Производные 1,2,3-триазола, в частности аллильные, применяются для синтеза новых металлоорганических соединений в аспекте кристаллической инженерии, поскольку они могут координироваться к атому металла различными способами: как одним или двумя атомами азота гетероцикла, так и  $-\text{C}=\text{C}-$  связью аллильной группы. Ранее был изучен ряд  $\pi$ -комплексов Cu(I) с 1-аллил (и 2-аллил) бензотриазолом [8–10] в присутствии различных неорганических анионов. В продолжение этих исследований и с целью изучения координационный особенностей аллильных производных 1,2,3-триазола нами осуществлен синтез и рентгеноструктурный анализ трех новых  $\pi$ -комплексов меди(I) состава [Cu(Nalt1)Br] (1), [Cu(Nalt1)<sub>2</sub>(CH<sub>3</sub>C<sub>6</sub>H<sub>4</sub>SO<sub>3</sub>)] (2)

и  $[\text{Cu}(\text{Nalt2})(\text{CF}_3\text{COO})]$  (3), где Nalt1 – 1-N-аллил-1,2,3-триазол, а Nalt2 – 2-N-аллил-1,2,3-триазол.

### Экспериментальная часть

#### Синтез

N-Аллилтриазол (Nalt) в виде смеси изомеров Nalt1 и Nalt2 (в соотношении приблизительно 1:1) получен по известной методике [9], исходя из хлористого аллила и 1,2,3-триазола в этаноле в присутствии  $\text{NaHCO}_3$ .

$\pi$ -Комплекс  $[\text{Cu}(\text{Nalt1})\text{Br}]$  (I) в виде качественных монокристаллов получен с помощью переменно-токового электрохимического синтеза [11], исходя из ацетонитрильного раствора смеси Nalt (0,33 г) и  $\text{CuBr}_2$  (0,22 г) при напряжении переменного тока на медных электродах 0,55 В в течение 10 дней. Общий объем раствора 4 мл.

#### Кристаллы соединения



получены упомянутым методом при напряжении на медных электродах 0,70 В в течение 3 дней, исходя из 4 мл этанольного раствора смеси Nalt (0,33 г) и  $\text{Cu}(\text{CH}_3\text{C}_6\text{H}_4\text{SO}_3)_2 \cdot x\text{H}_2\text{O}$  (0,42 г).

#### Монокристаллы комплекса



получены аналогичным методом при напряжении 0,57 В в течение 4 дней, исходя из 4 мл этанольного раствора Nalt (0,33 г) и  $\text{Cu}(\text{CF}_3\text{COO})_2 \cdot x\text{H}_2\text{O}$  (0,33 г, для  $x=2$ ).

#### Рентгеноструктурный анализ (PCA)

Массив интегральных интенсивностей отражений для кристалла соединения I получен на монокристальном дифрактометре Кuma KM-4-CCD ( $\text{MoK}_\alpha$ -излучение, графитовый монохроматор, детектор Mercury CCD), а для кристаллов комплексов II и III – Agilent Xcalibur ( $\text{MoK}_\alpha$ -излучение, графитовый монохроматор, детектор Atlas CCD). Все структуры решены и уточнены с помощью программ SHELT и SHELLXL с использованием интерфейса OLEX<sup>2</sup> [12]. Позиционные и тепловые параметры всех неводородных атомов для I–III уточнены полноматричным методом наименьших квадратов с использованием F<sup>2</sup>. Аллильная группа лиганда в III разупорядочена в двух позициях с соответствующими заполнениями этих позиций 0,802(8) (C7A, C8A) и 0,198(8) (C7B, C8B). Атомы водорода найдены геометрическим способом и уточнены с фиксированным расстоянием C–H и значениями  $U_{\text{iso}}(\text{H})=1,2U_{\text{eq}}(\text{C})$ , а для атомов водорода метильной группы в II –

$U_{\text{iso}}(\text{H})=1,5U_{\text{eq}}(\text{C})$ . Детали PCA и основные кристаллоструктурные данные для соединений I–III приведены в табл. 1.

Координаты атомов и другие параметры соединений I–III депонированы в Кембриджском банке структурных данных (соответственно № CCDC 1823778, № CCDC 1823783 и № CCDC 1823784): [www.ccdc.cam.ac.uk/data\\_request/cif](http://www.ccdc.cam.ac.uk/data_request/cif)

#### Результаты и их обсуждение

В структурах  $\pi$ -комплексов  $[\text{Cu}(\text{Nalt1})\text{Br}]$  (I) и  $[\text{Cu}(\text{Nalt1})_2(\text{CH}_3\text{C}_6\text{H}_4\text{SO}_3)]$  (II) лигандом выступает молекула 1-N-аллил-1,2,3-триазола (Nalt1) с ожидаемой  $\pi,\sigma$ -координацией к меди(I). Атом Cu(I) в I находится в тригонально-пирамидальном окружении, образованном C=C-связью аллильной группы, атомом N3 соседней молекулы лиганда и двумя атомами брома. Мостиковый характер как Nalt1, так и атомов Br, способствует реализации бесконечной двойной цепи (рис. 1, табл. 2).

Тригонально-пирамидальное окружение Cu(I) в структуре соединения II формируют две молекулы Nalt1, причем одна –  $\pi,\sigma$ -мостиковая, другая – координирована к атому Cu(I) лишь наиболее нуклеофильным атомом N триазольного кольца. Апикальное положение тригональной пирамиды Cu(I) занимает атом O аниона толуолсульфоната (рис. 2, табл. 3). Связь C=C аллильной группы второй молекулы Nalt1 не принимает участия в координировании Cu(I). Следует отметить, что соединение II является лишь вторым изученным толуолсульфонатным  $\pi$ -комплексом меди(I) [7]. Среди  $\pi$ -комплексов арилсульфонатов переходных металлов к настоящему времени изучена структура лишь трех соединений Cu(I), причем одна из них является  $\pi$ -комплексом бензолсульфоната Cu(I) с аллильным производным 1,3,4-тиадиазола [13].

Об эффективном взаимодействии Cu–(C=C) в структуре II свидетельствует удлинение  $\pi$ -координированной олефиновой связи C7=C8 аллильной группы Nalt1 до 1,379(3) Å в сравнении со связью C17=C18 (1,321(3) Å) второй молекулы лиганда Nalt1. Выше сказанное также подтверждается достаточно близким расстоянием Cu1–m (1,919(2) Å) и практически полной компланарностью (0,82°) связи C7=C8 с основанием тригональной пирамиды атома металла.

В структуре соединения III лигандом является Nalt2, который выполняет мостиково-хелатную  $\pi,\sigma$ -функцию, координируясь атомом N1 и двойной связью аллильной группы к од-

Таблица 1  
Детали РСА и основные кристаллоструктурные данные для соединений I–III

Характеристика	Соединение		
	I	II	III
Эмпирическая формула	C <sub>5</sub> H <sub>7</sub> BrCuN <sub>3</sub>	C <sub>17</sub> H <sub>21</sub> CuN <sub>6</sub> O <sub>3</sub> S	C <sub>7</sub> H <sub>7</sub> CuF <sub>3</sub> N <sub>3</sub> O <sub>2</sub>
M, г/моль	252,59	453,01	285,71
T, K	150	100	100
Сингония	Триклинная	Моноклинная	Моноклинная
Излучение	MoK <sub>α</sub>	MoK <sub>α</sub>	MoK <sub>α</sub>
Пространственная группа	P 1	P2 <sub>1</sub> /c	P2 <sub>1</sub> /n
a, Å	7,107(3)	7,977(3)	8,215(3)
b, Å	7,162(3)	31,665(8)	10,212(4)
c, Å	8,050(3)	7,959(3)	11,520(4)
α, град.	98,83(3)	90	90
β, град.	106,41(3)	101,44(3)	93,30(3)
γ, град.	100,52(3)	90	90
V, Å <sup>3</sup>	377,2(3)	1970,4(12)	964,8(6)
Z	2	4	4
ρ(выч.), г/см <sup>3</sup>	2,224	1,527	1,967
μ, мм <sup>-1</sup>	8,113	1,246	2,298
F(000)	244,0	936,0	568,0
Размер кристалла, мм	0,64×0,40×0,31	0,68×0,16×0,11	0,38×0,30×0,14
θ <sub>min</sub> ÷θ <sub>max</sub> , град.	3,0÷36,8	2,7÷29,4	3,2÷29,3
Границы значения индексов Миллера	-11≤h≤8, -9≤k≤12, -10≤l≤12	-10≤h≤10, -41≤k≤42, -10≤l≤9	-10≤h≤11, -9≤k≤13, -15≤l≤12
Количество рефлексов:			
измеренных	4920	30722	4700
независимых	2740	4989	2245
использованных при уточнении, I≥2σ(I)	2492	4573	1930
Количество независимых параметров	91	254	154
S по F <sup>2</sup>	1,057	1,015	1,033
R[F <sup>2</sup> >2σ(F <sup>2</sup> )]	0,0449	0,0352	0,0309
wR(F <sup>2</sup> )	0,1327	0,0933	0,0725
Максимальный и минимальный остаточный элемент плотности, е·Å <sup>-3</sup>	1,10 и -1,39	0,50 и -0,46	0,98 и -0,51

Таблица 2  
Основные длины связей (d) и валентные углы (ω) в структуре I

Связь	d, Å	Угол	ω, град
Cu1–C7 <sup>ii</sup>	2,087(3)	N3–Cu1–m <sup>ii</sup>	126,03(6)
Cu1–C8 <sup>ii</sup>	2,071(3)	N3–Cu1–Br1	101,36(8)
C7 <sup>ii</sup> –C8 <sup>ii</sup>	1,355(4)	N3–Cu1–Br1 <sup>i</sup>	100,46(8)
Cu1–N3	1,997(3)	N3–Cu1–C7 <sup>ii</sup>	144,71(6)
Cu1–Br1	2,476(1)	N3–Cu1–C8 <sup>ii</sup>	107,09(6)
Cu1–Br1 <sup>i</sup>	2,600(1)	C7 <sup>ii</sup> –Cu1–C8 <sup>ii</sup>	38,04(12)
Cu1–m <sup>ii</sup>	1,965(3)	C6–C7–C8	122,1(3)

Примечание: m – середина связи C7=C8; коды симметрии:  
(i) 2–x, 1–y, 2–z; (ii) x, y, 1+z.

Таблица 3  
Основные длины связей (d) и валентные углы (ω) в структуре II

Связь	d, Å	Угол	ω, град
Cu1–C7 <sup>i</sup>	2,045(2)	O1–Cu1–m <sup>i</sup>	104,01(7)
Cu1–C8 <sup>i</sup>	2,033(2)	O1–Cu1–N13	90,22(6)
Cu1–O1	2,2471(8)	O1–Cu1–N3	95,56(7)
C7–C8 <sup>i</sup>	1,379(3)	O1–Cu1–C7 <sup>i</sup>	101,69(7)
Cu1–N3	2,000(2)	O1–Cu1–C8 <sup>i</sup>	104,67(7)
Cu1–N13	2,009(2)	C7 <sup>i</sup> –Cu1–C8 <sup>i</sup>	39,53(8)
Cu1–m <sup>i</sup>	1,919(2)	C6–C7–C8	122,6(2)

Примечание: <sup>a</sup>m – середина связи C7=C8; коды симметрии:  
(i) -1+x, y, z.

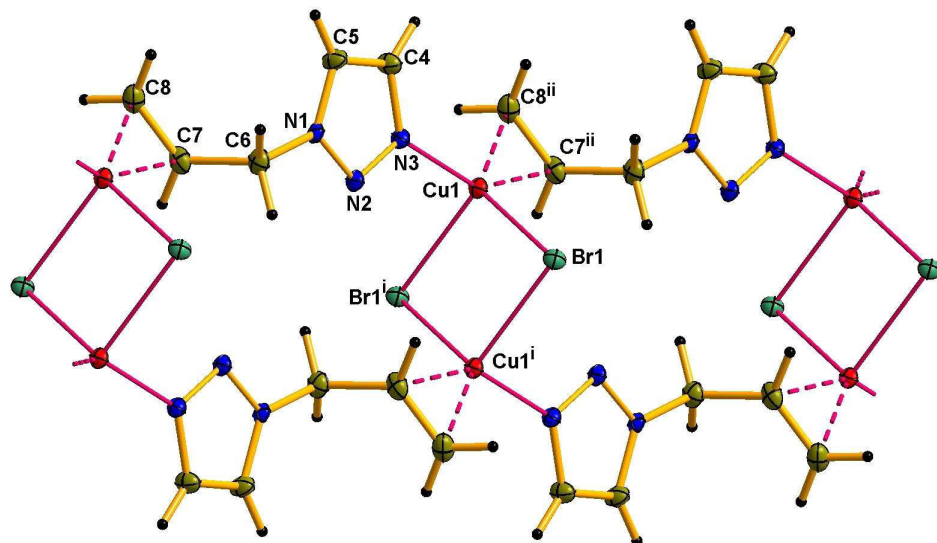


Рис. 1. Фрагмент кристаллической структуры соединения I. Коды симметрии: (i)  $2-x, 1-y, 2-z$ ; (ii)  $x, y, 1+z$

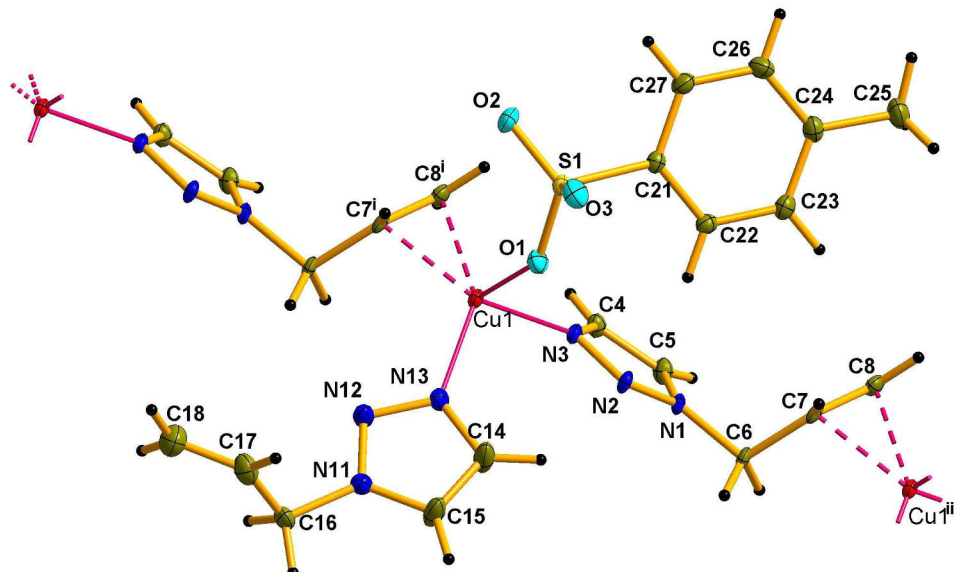


Рис. 2. Фрагмент кристаллической структуры соединения (II). Коды симметрии: (i)  $-1+x, y, z$ ; (ii)  $1+x, y, z$

ному атому Cu1, а атомом N3 – к соседнему атому металла (рис. 3,а, табл. 4). Подобным строением обладает ранее изученный  $\pi$ -комплекс  $\text{CuClO}_4$  с 2-N-аллилбензотриазолом –  $[\text{Cu}(2\text{-all-bta})\text{ClO}_4]$  [9] (рис. 3,б), в структуре которого наблюдаемое удлинение связи C8=C9 (1,349(6) Å), сопоставимое с длиной связи C7=C8 (1,352(5) Å) в комплексе 3.

Наблюданная селективность координации лиганда Nalt1 либо Nalt2 в структуре  $\pi$ -комплексов I–III согласуется с теорией ЖМКО:  $\text{Cu}^+$  является мягкой кислотой Пирсона, как, в принципе, и анион  $\text{Br}^-$ . Атом N триазольного ядра – основание немного жёстче  $\text{Br}^-$ , однако, несколь-

Таблица 4  
Основные длины связей (d) и валентные углы ( $\omega$ ) в структуре III

Связь	d, Å	Угол	$\omega$ , град
Cu1-C7A	2,099(3)	O1-Cu1-m	108,50(3)
Cu1-C8A	2,147(3)	O1-Cu1-N1	102,39(8)
Cu1-O1	2,069(2)	O1-Cu1-N3 <sup>i</sup>	105,40(8)
C7A-C8A	1,352(5)	O1-Cu1-C7A	101,26(10)
Cu1-N3 <sup>i</sup>	2,008(2)	O1-Cu1-C8A	113,84(14)
Cu1-N1	2,064(2)	C7A-Cu1-C8A	37,11(14)
Cu-m	2,013(3)	C6-C7A-C8A	122,2(3)

Примечание: <sup>a</sup>m – середина связи C7=C8, код симметрии: (i)  $0,5-x, 0,5+y, 0,5-z$ .

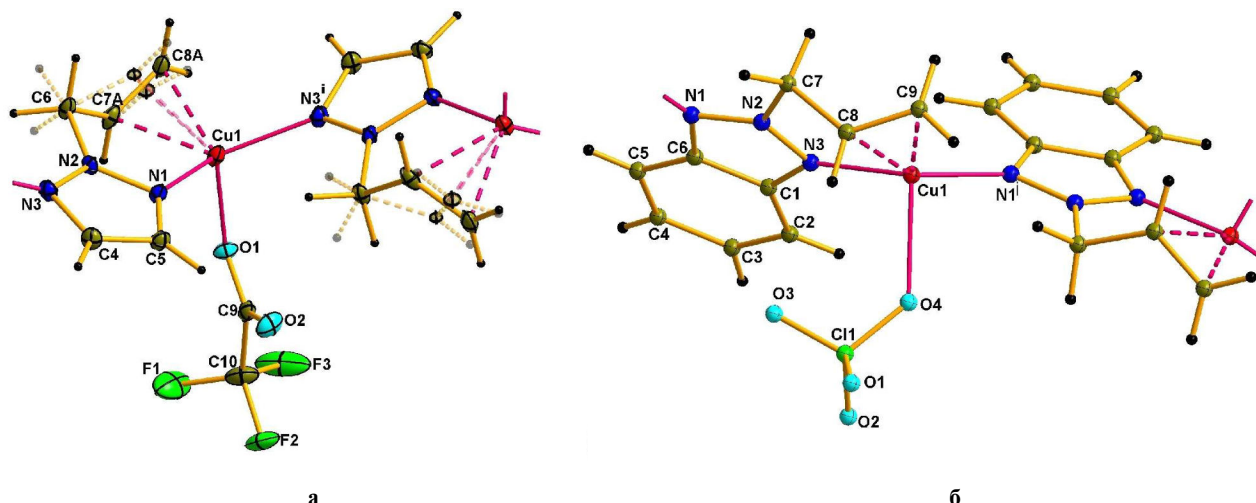


Рис. 3. Координационный узел Cu(I) в р-комплексах III (а) и  $[\text{Cu}(\text{2-N-аллилбензотриазол})\text{ClO}_4]$ . Код симметрии: (i)  $0.5-x, 0.5+y, 0.5-z$ . Разупорядоченная аллильная группа с КЗП=0.198(8) представлена разорванными линиями.

ко мягче, чем атом О трифторацетатного аниона. Вследствие этого в структуре комплекса I в координационную сферу Cu(I), помимо двух атомов брома, входит связь C=C аллильной группы (мягкое основание) лиганда Nalt1 и лишь один триазольный атом N3, обладающий преимущественно большей нуклеофильностью по сравнению с также доступным атомом N2 этого же лиганда или двух практически эквивалентных атомов азота второго изомера Nalt2. На-против, в присутствии более жесткого аниона  $\text{CF}_3\text{COO}^-$  в координации металла участвует молекула изомера Nalt2, задействуя в формировании координационного окружения меди(I) и связь C=C, и два атома N1 и N3 триазольного ядра. Что касается комплекса II, то, по-видимому, стерический эффект, создаваемый анионом толуолсульфоната способствует тому, что в окружение металла, кроме атома О самого аниона и одной связи C=C аллильной группы, входят также по одному наиболее нуклеофильному атому N3 от двух кристаллографически независимых молекул Nalt1. Сказанное выше подтверждается также изученным ранее примером изомер-селективного комплексообразования  $\pi$ -сочленений Cu(I) со смесью изомеров N-аллилбезотриазола – 1-аллилбезотриазолом-1,2,3 (1-All-bta) и 2-аллилбезотриазолом-1,2,3 (2-All-bta), которое наблюдалось в случае  $\pi,\sigma$ -комплексов  $[\text{Cu}(1\text{-All-bta})\text{Cl}]$ ,  $[\text{Cu}(1\text{-All-bta})\text{NO}_3]$  и  $[\text{Cu}(1\text{-All-bta})\text{Cl}_{0.85}\text{Br}_{0.15}]$  [14,15], а также  $[\text{Cu}(2\text{-All-bta})\text{ClO}_4]$ ,  $[\text{Cu}(2\text{-All-bta})\text{H}_2\text{O}]\text{BF}_4$  и  $[\text{Cu}(2\text{-All-bta})\text{HSO}_4]$  [9]. В последних трех соединениях именно изомер 2-All-bta (как и в соединении III изомер Nalt2), благодаря  $\pi,\sigma$ -хелатно-мостиковой функции, способствует их стабильности.

## *Благодарность*

Авторы благодарны доктору Кинжибalo B.B. (Институт низких температур и структурных исследований им. B. Тшебятовского ПАН) за получение дифрактометрических массивов кристаллов соединений I–III.

## **СПИСОК ЛИТЕРАТУРЫ**

1. *Synthesis* and characterization of fluorescent brightening agents with chiral 2(5H)-furanone and bis-1,2,3-triazole structure / J.-P. Huo, J.-C. Luo, W. Wu, J.-F. Xiong, G.-Z. Mo, Z.-Y. Wang // *Ind. Eng. Chem. Res.* – 2013. – Vol.52. – No. 34. – P.11850–11857.
  2. *1,2,3-Triazole* derivatives as corrosion inhibitors for mild steel in acidic medium: experimental and computational chemistry studies / Q. Ma, S. Qi, X. He, Y. Tang, G. Lu // *Corros. Sci.* – 2017. – Vol.129. – P.91–101.
  3. *Design*, synthesis, and in vitro biological evaluation of 1H-1,2,3-triazole-4-carboxamide derivatives as new anti-influenza A agents targeting virus nucleoprotein / H. Cheng, J. Wan, M.-I. Lin, Y. Liu, X. Lu, J. Liu, Y. Xu, J. Chen, Z. Tu, Y.-S.E. Cheng, K. Ding // *J. Med. Chem.* – 2012. – Vol.55. – No. 5 – P.2144–2153.
  4. *The 1,2,3-triazole* ring as a bioisostere in medicinal chemistry / E. Bonandi, M.S. Christodoulou, G. Fumagalli, D. Perdicchia, G. Rastelli, D. Passarella // *Drug. Discov. Today* – 2017. – Vol.22. – No. 10 – P.1572–1581.
  5. *Sustainable* metal complexes for organic light-emitting diodes (OLEDs) / C. Bizzarri, E. Spulig, D.M. Knoll, D. Volz, S. Bräse. // *Coord. Chem. Rev.* – 2017 (in press). Available at: <https://doi.org/10.1016/j.ccr.2017.09.011>.
  6. *A novel* copper(I) sulfamate  $\pi$ -complex based on the 5-(allylthio)-1-(3,5-dimethylphenyl)-1H-tetrazole ligand: alternating-current electrochemical crystallization, DFT

calculations, structural and NLO properties studies / Yu. Slyvka, A.A. Fedorchuk, N.T. Pokhodylo, T. Lis, I.V. Kityk, M.G. Mys'kiv // Polyhedron. – 2018. – Vol.147. – P.86-93.

7. *Synthesis*, structural and NLO properties of the novel copper(I) p-toluenesulfonate  $\pi$ -complex with 1-allyloxybenzotriazole / Yu. Slyvka, A.A. Fedorchuk, E. Goreshnik, G. Lakshminarayana, I.V. Kityk, P. Czaja, M. Mys'kiv // Chem. Phys. Lett. – 2018. – Vol.694. – P.112-119.

8. Goreshnik E.A., Slyvka Yu.I., Mys'kiv M.G. The first example of a direct  $Cu^{+}$ – $SiF_6^{2-}$  bond. Synthesis and crystal structure of two closely related copper(I) hexafluorosilicate  $\pi$ -complexes with 1-allylbenzotriazole of  $[Cu_2(C_6H_4N_3(C_3H_5))_2(H_2O)_2SiF_6] \cdot 2H_2O$  and  $[Cu_2(C_6H_4N_3(C_3H_5))_2(CH_3OH)_2(H_2O)_2SiF_6$  composition // Inorg. Chim. Acta. – 2011. – Vol.377. – No. 1. – P.177-180.

9. *Isomer-selective* complexation of copper(I) ionic salts towards 1- and 2-allylbenzotriazoles. Synthesis and characterization of  $CuBF_4$ ·2-all-bta· $H_2O$ ,  $CuClO_4$ ·2-all-bta,  $CuClO_4$ ·1-all-bta·2-all-bta and  $CuHSO_4$ ·2-all-bta – the first known example of  $CuHSO_4$   $\pi$ -complexes / E.A. Goreshnik, A.A. Vakulka, Yu.I. Slyvka, M.G. Mys'kiv // J. Organomet. Chem. – 2012. – Vol.710. – P.1-5.

10. Goreshnik E.A. Synthesis and crystal structure of copper(I) chloride  $\pi$ -complex with 1-allylbenzotriazole of  $CuCl_xC_6H_4N_3(C_3H_5)$  composition // Pol. J. Chem. – 1999. – Vol.73. – No. 8. – P.1253-1258.

11. *Sposib* syntezu monokrystaliv ionnykh kuprum(I)-olefinovykh spoluk / Yu.I. Slyvka, O.V. Pavlyuk, M.Yu. Luk'yanov, M.G. Mys'kiv. Ukrainian Patent 118819U, Bull. № 16, 2017.

12. OLEX2 a complete structure solution, refinement and analysis program / O.V. Dolomanov, L.J. Bourhis, R.J. Gildea, J.A.K. Howard, H. Puschmann // J. Appl. Cryst. – 2009. – Vol.42. – P.339-341.

13. *Ligand-forced* dimerization of copper(I)-olefin complexes bearing a 1,3,4-thiadiazole core / B. Ardan, V. Kinzhylalo, Yu. Slyvka, O. Shyyka, M. Luk'yanov, T. Lis, M. Mys'kiv // Acta Crystallogr. Section C. – 2017. – Vol.73. – No. 1. – P.36-46.

14. Goreshnik E.A., Mys'kiv M.G. Synthesis and crystal structure of copper(I) nitrate  $\pi$ -complex with 1-allylbenzotriazole of equimolar composition // Acta Chim. Slov. – 2011. – Vol.58. – No. 4. – P.772-776.

15. Goreshnik E.A., Mykhalichko B.M., Davydov V.N. Changes in the conformational parameters of 1-allylbenzotriazole in a mixed halide  $\pi$ -complex  $[CuCl_{0.85}Br_{0.15}(C_6H_4N_3CH_2=CH_2)]$  under the action of bromine atoms // J. Struct. Chem. – 2005. – Vol.46. – P.172-176.

Поступила в редакцию 06.06.2018

## СИНТЕЗ І КРИСТАЛІЧНА СТРУКТУРА $\pi$ -КОМПЛЕКСІВ $Cu(I)$ З Н-АЛЛІL-1,2,3-ТРИАЗОЛОМ СКЛАДУ $[Cu(C_5H_7N_3)Br]$ , $[Cu(C_5H_7N_3)_2(CH_3C_6H_4SO_3)]$ I $[Cu(C_5H_7N_3)(CF_3COO)]$ II

**A.M. Fed'ko, Yu.I. Slyvka, M.G. Mys'kiv**

Методом змінно-струмового електрохімічного синтезу, виходячи із ацетонітрильних розчинів  $CuBr_2$ ,  $Cu(n-C_6H_4C_6H_4SO_3)xH_2O$ ,  $Cu(CF_3COO)_xH_2O$  та суміші 1-N-алліl-1,2,3-триазолу і 2-N-алліl-1,2,3-триазолу, на мідних електродах одержано три нових  $\pi$ -комплекси купруму(I):  $[Cu(C_5H_7N_3)Br]$  (I),  $[Cu(C_5H_7N_3)_2(CH_3C_6H_4SO_3)]$  (II) та  $[Cu(C_5H_7N_3)(CF_3COO)]$  (III). Сполучка I кристалізується в трикінній сингонії, пр. гр. РІ:  $a=7,107(3)$  Å,  $b=7,162(3)$  Å,  $c=8,050(3)$  Å,  $\alpha=98.83(3)^\circ$ ,  $\beta=106.41(3)^\circ$ ,  $\gamma=100.52(3)^\circ$ ,  $V=377.2(3)$  Å<sup>3</sup>,  $Z=2$ . Комплекси II та III кристалізуються в моноклінній сингонії, (II) – пр. гр. Р2<sub>1</sub>/c:  $a=7,977(3)$  Å,  $b=31,665(8)$  Å,  $c=7,959(3)$  Å,  $\beta=101.44(3)^\circ$ ,  $V=1970.4(12)$  Å<sup>3</sup>,  $Z=4$ ; (III) – пр. гр. Р2<sub>1</sub>/n:  $a=8,215(3)$  Å,  $b=10,212(4)$  Å,  $c=11,520(4)$  Å,  $\beta=93.30(3)^\circ$ ,  $V=964.8(6)$  Å<sup>3</sup>,  $Z=4$ . У структурах всіх трьох сполук наявний один кристалографічно незалежний атом Cu(I) з тригонально-піраміdalною координацією. Виявлено ізомер-селективне комплексоутворення: в сполуках I та II молекула 1-N-алліl-1,2,3-триазолу – місточкова  $\pi$ -дентантна, в сполуці III триденатна молекула 2-N-алліl-1,2,3-триазолу повністю проявляє свої координаційні можливості, виконуючи місточково-хелатну  $\pi$ -функцію. Сполучка II є другим структурно вивченим  $\pi$ -комплексом купруму(I) n-толуенсульфонату.

**Ключові слова:** купрум(I),  $\pi$ -комплекс, 1,2,3-триазол, аллільні похідні, кристалічна структура.

## SYNTHESIS AND CRYSTAL STRUCTURE OF Cu(I) $\pi$ -COMPLEXES WITH N-ALLYL-1,2,3-TRIAZOLE OF $[Cu(C_5H_7N_3)Br]$ , $[Cu(C_5H_7N_3)_2(CH_3C_6H_4SO_3)]$ AND $[Cu(C_5H_7N_3)(CF_3COO)]$ COMPOSITION

**A.M. Fed'ko, Yu.I. Slyvka, M.G. Mys'kiv**

Ivan Franko National University of Lviv, Lviv, Ukraine

Using the alternating-current electrochemical technique, three novel copper(I)  $\pi$ -complexes  $[Cu(Nalt1)Br]$  (I),  $[Cu(Nalt1)_2(CH_3C_6H_4SO_3)]$  (II) and  $[Cu(Nalt2)(CF_3COO)]$  (III) were synthesized from acetonitrile solutions of the mixture of 1-N-allyl-1,2,3-triazole and 2-N-allyl-1,2,3-triazole and the corresponding copper(II) salts ( $CuBr_2$ ,  $Cu(n-C_6H_4C_6H_4SO_3)xH_2O$ ,  $Cu(CF_3COO)_xH_2O$ ). The compounds were studied by single crystal X-ray diffraction: (I) sp. gr. РІ:  $a=7.107(3)$  Å,  $b=7.162(3)$  Å,  $c=8.050(3)$  Å,  $\alpha=98.83(3)^\circ$ ,  $\beta=106.41(3)^\circ$ ,  $\gamma=100.52(3)^\circ$ ,  $V=377.2(3)$  Å<sup>3</sup>,  $Z=2$ ; (II) sp. gr. Р2<sub>1</sub>/c:  $a=7.977(3)$  Å,  $b=31.665(8)$  Å,  $c=7.959(3)$  Å,  $\beta=101.44(3)^\circ$ ,  $V=1970.4(12)$  Å<sup>3</sup>,  $Z=4$ ; (III) sp. gr. Р2<sub>1</sub>/n:  $a=8.215(3)$  Å,  $b=10.212(4)$  Å,  $c=11.520(4)$  Å,  $\beta=93.30(3)^\circ$ ,  $V=964.8(6)$  Å<sup>3</sup>,  $Z=4$ . Structures I–III are characterized by the presence of one crystallographically independent Cu(I) ion, possessing trigonal-pyramidal environment. Isomer-selective complexation toward copper(I) ion was observed:  $\pi$ , $\sigma$ -bridged 1-N-allyl-1,2,3-triazole molecule is coordinated to metal centers in structures I and II, while 2-N-allyl-1,2,3-triazole fully realizes its coordination ability and is bonded to copper(I) atoms in  $\pi$ , $\sigma$ -chelate bridging mode. Complex III is the second-known structurally studied copper(I)  $\pi$ -complex with p-toluenesulfonate ion.

**Keywords:** copper(I);  $\pi$ -complex; 1,2,3-triazole; allyl derivatives; crystal structure.

## REFERENCES

1. Huo J.-P., Luo J.-C., Wu W., Xiong J.-F., Mo G.-Z., Wang Z.-Y. Synthesis and characterization of fluorescent brightening agents with chiral 2(5H)-furanone and bis-1,2,3-triazole structure. *Industrial & Engineering Chemistry Research*, 2013, vol. 52, pp. 11850-11857.
2. Ma Q., Qi S., He X., Tang Y., Lu G. 1,2,3-Triazole derivatives as corrosion inhibitors for mild steel in acidic medium: experimental and computational chemistry studies. *Corrosion Science*, 2017, vol. 129, pp. 91-101.
3. Cheng H., Wan J., Lin M.-I., Liu Y., Lu X., Liu J., Xu Y., Chen J., Tu Z., Cheng Y.-S.E., Ding K. Design, synthesis, and in vitro biological evaluation of 1H-1,2,3-triazole-4-carboxamide derivatives as new anti-influenza A agents targeting virus nucleoprotein. *Journal of Medicinal Chemistry*, 2012, vol. 55, pp. 2144-2153.
4. Bonandi E., Christodoulou M.S., Fumagalli G., Perdicchia D., Rastelli G., Passarella D. The 1,2,3-triazole ring as a bioisostere in medicinal chemistry. *Drug Discovery Today*, 2017, vol. 22, pp. 1572-1581.
5. Bizzarri C., Spulig E., Knoll D.M., Volz D., Brase S. Sustainable metal complexes for organic light-emitting diodes (OLEDs). *Coordination Chemistry Reviews*, 2017, in press. Available at: <https://doi.org/10.1016/j.ccr.2017.09.011>.
6. Slyvka Yu.I., Fedorchuk A.A., Pokhodylo N.T., Lis T., Kityk I.V., Mys'kiv M.G. A novel copper(I) sulfamate  $\pi$ -complex based on the 5-(allylthio)-1-(3,5-dimethylphenyl)-1H-tetrazole ligand: alternating-current electrochemical crystallization, DFT calculations, structural and NLO properties studies. *Polyhedron*, 2018, vol. 147, pp. 86-93.
7. Slyvka Yu., Fedorchuk A.A., Goreshnik E., Lakshminarayana G., Kityk I.V., Czaja P., Mys'kiv M. Synthesis, structural and NLO properties of the novel copper(I) p-toluenesulfonate  $\pi$ -complex with 1-allyloxybenzotriazole. *Chemical Physics Letters*, 2018, vol. 694, pp. 112-119.
8. Goreshnik E.A., Slyvka Yu.I., Mys'kiv M.G. The first example of a direct Cu<sup>+</sup>-SiF<sub>6</sub><sup>2-</sup> bond. Synthesis and crystal structure of two closely related copper(I) hexafluorosilicate  $\pi$ -complexes with 1-allylbenzotriazole of [Cu<sub>2</sub>(C<sub>6</sub>H<sub>4</sub>N<sub>3</sub>(C<sub>3</sub>H<sub>5</sub>))<sub>2</sub>(H<sub>2</sub>O)<sub>2</sub>SiF<sub>6</sub>]·2H<sub>2</sub>O and [Cu<sub>2</sub>(C<sub>6</sub>H<sub>4</sub>N<sub>3</sub>(C<sub>3</sub>H<sub>5</sub>))<sub>2</sub>(CH<sub>3</sub>OH)<sub>2</sub>(H<sub>2</sub>O)<sub>2</sub>]SiF<sub>6</sub> composition. *Inorganica Chimica Acta*, 2011, vol. 377, pp. 177-180.
9. Goreshnik E.A., Vakulka A.A., Slyvka Yu.I., Mys'kiv M.G. Isomer-selective complexation of copper(I) ionic salts towards 1- and 2-allylbenzotriazoles. Synthesis and characterization of CuBF<sub>4</sub>·2-all-bta·H<sub>2</sub>O, CuClO<sub>4</sub>·2-all-bta, CuClO<sub>4</sub>·1-all-bta·2-all-bta and CuHSO<sub>4</sub>·2-all-bta – the first known example of CuHSO<sub>4</sub>  $\pi$ -complexes. *Journal of Organometallic Chemistry*, 2012, vol. 710, pp. 1-5.
10. Goreshnik E.A. Synthesis and crystal structure of copper(I) chloride  $\pi$ -complex with 1-allylbenzotriazole of CuCl·C<sub>6</sub>H<sub>4</sub>N<sub>3</sub>(C<sub>3</sub>H<sub>5</sub>) composition. *Polish Journal of Chemistry*, 1999, vol. 73, pp. 1253-1258.
11. Slyvka Yu.I., Pavlyuk O.V., Luk'yanov M.Yu., Mys'kiv M.G., *Sposib syntezu monokrystaliv ionnykh kuprum(I)-olefinovykh spoluk* [Method for the synthesis of the single crystals of ionic copper(I)-olefinic coordination compounds]. Patent UA, no. 118819U, 2017. (in Ukrainian).
12. Dolomanov O.V., Bourhis L.J., Gildea R.J., Howard J.A.K., Puschmann H. OLEX2: a complete structure solution, refinement and analysis program. *Journal of Applied Crystallography*, 2009, vol. 42, pp. 339-341.
13. Ardan B., Kinzhylbalo V., Slyvka Y., Shyyka O., Luk'yanov M., Lis T., Mys'kiv M. Ligand-forced dimerization of copper(I)-olefin complexes bearing a 1,3,4-thiadiazole core. *Acta Crystallographica Section C: Structural Chemistry*, 2017, vol. 73, pp. 36-46.
14. Goreshnik E.A., Mys'kiv M.G. Synthesis and crystal structure of copper(I) nitrate  $\pi$ -complex with 1-allylbenzotriazole of equimolar composition. *Acta Chimica Slovenica*, 2011, vol. 58, pp. 772-776.
15. Goreshnik E.A., Mykhalichko B.M., Davydov V.N. Changes in the conformational parameters of 1-allylbenzotriazole in a mixed halide  $\pi$ -complex [CuCl<sub>0.85</sub>Br<sub>0.15</sub>(C<sub>6</sub>H<sub>4</sub>N<sub>3</sub>CH<sub>2</sub>=CH<sub>2</sub>)] under the action of bromine atoms. *Journal of Structural Chemistry*, 2005, vol. 46, pp. 172-176.